

## НЕЛОКАЛЬНОСТЬ КОНТАКТНЫХ ЯВЛЕНИЙ В СОСТАВНЫХ, ДВУМЕРНЫХ ЗАРЯЖЕННЫХ СИСТЕМАХ

*В.Б.Шикин, Н.И.Шикина*

*Институт физики твердого тела РАН*

*142432 Черноголовка, Московская обл., Россия*

Поступила в редакцию 19 октября 1995 г.

После переработки 9 ноября 1995 г.

Отмечено на примере двумерного корбино-диска, что контакт исходно нейтральной двумерной электронной системы (2DEG) с "внешними" металлическими электродами, имеющими отличные от 2DEG внутренние характеристики (разные работы выхода), приводит к нарушению локальной нейтральности двумерной части диска на всей ее ширине. Дано классическое описание аномально протяженных неоднородностей контактного происхождения в распределении 2D электронной плотности. Обсуждается роль квантовых поправок к классической теории. Исследовано влияние контактных неоднородностей плотности на линейную часть вольт-амперной характеристики корбино-образца в условиях квантового эффекта Холла. Предложена интерпретация имеющихся экспериментальных данных для корбино-диска, свидетельствующих о наличии в нем равновесной неоднородности 2D электронной плотности. В частности, оценена величина контактной разности потенциалов в этой системе.

Хорошо известно, что контакт двух 3D металлов с разными работами выхода  $W_i$  приводит к частичному переносу электронов из одного металла в другой для выравнивания их электрохимических потенциалов [1]. Соответствующее нарушение локальной нейтральности в хороших металлах происходит на масштабах порядка межатомных расстояний, а в образцах с пониженной проводимостью – на длине порядка дебаевского радиуса. Аналогичная задача имеет реальный смысл и для контактов между 2D и 3D проводящими системами. При этом выясняется, что в 2D системе отсутствует характерный размер, на котором нарушена локальная нейтральность 2DEG, то есть возмущение электронной плотности контактного происхождения захватывает практически всю доступную 2D область. Учитывая чувствительность многих двумерных задач (особенно в режиме квантового эффекта Холла (КЭХ)) к локальной плотности 2DEG, можно предполагать, что аномальная протяженность возмущения электронной плотности в 2DEG контактного происхождения должна играть заметную роль в эффективном поведении 2DEG. Ниже на примере корбино-диска показано, что это действительно так. В частности, модифицируется вольт-амперная характеристика (ВАХ) корбино-образца в режиме КЭХ. Речь идет о появлении в задаче эффективной ширины  $2a$  2D области корбино-диска, для которой условие целочисленности фактора заполнения реально выполнено. Такая ширина может оказаться заметно меньше номинальных размеров  $2w$  2D области Корбино, если разность работ выхода между 2DEG и его металлическими "берегами" достаточно велика. Ясно, что именно ширина  $2a$  входит в определение ВАХ, контролируя полное падение напряжения между "берегами" Корбино. Наличие эффективной области  $a < w$  для корбино-диска в условиях КЭХ обнаружено в последнее время экспериментально [2].

1. Приступая к изложению конкретных результатов, напомним выводы классической электростатики для контакта двух металлов с разными объем-

ными характеристиками, что эффективно учитывается введением контактной разности потенциалов  $\phi_{ab}$  [1]:

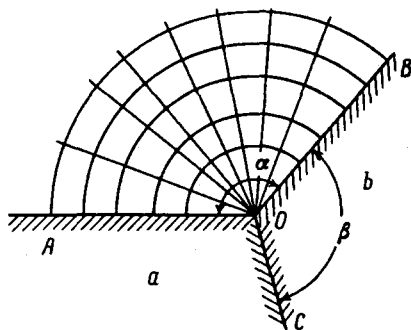
$$e\phi_{ab} = W_a - W_b, \quad (1)$$

где  $W_i$  – так называемые работы выхода соответствующих металлов,  $e$  – элементарный заряд.

Если теперь речь идет о контакте металлов  $A$  и  $B$  с открытыми гранями (см. рисунок), то в вакуумном промежутке между гранями  $AO$  и  $OB$  возникает электрическое поле с потенциалом  $\phi$  [1]:

$$\phi(\theta) = \phi_{ab} \frac{\theta}{\alpha}, \quad (2)$$

где  $\alpha$  – угол между гранями  $OA$  и  $OB$ .



Напряженность поля  $E$  равна

$$E_r = -\frac{1}{r} \frac{\partial \phi}{\partial \theta} = \frac{\phi_{ab}}{\alpha r}, \quad E_r = 4\pi e \delta n(r) \quad (3)$$

и убывает обратно пропорционально расстоянию  $r$  до точки  $O$ . С этим полем связана поверхностная плотность заряда  $\delta n(r)$ , распределенная вдоль свободных граней  $OA$  и  $OB$ .

Пусть теперь роль луча  $OB$  играет 2D электронная система, и, для простоты, углы  $\alpha$  и  $\beta$  на рисунке равны между собой. При этом дополнительная поверхностная плотность заряда из (3) является одновременно и добавкой к однородной электронной плотности  $n_s$  этой системы. Другими словами, контакт 2DEG с подводящими электродами (2D или 3D) может заметно и на больших расстояниях нарушать пространственную однородность 2D электронной плотности, если таковая и имелась в 2D образце без контактов. Нарушение однородности 2D электронной плотности за счет контакта с внешними электродами естественно назвать кулоновским эффектом близости.

Если вдоль луча  $OB$  расположена 3D тонкая пленка, то заряды вида (3) с плотностью, затухающей в глубь пленки на некой, дебаевской длине, влияют на граничные условия, определяющие вид электронной функции распределения внутри пленки. Следовательно, и в данном случае можно говорить о дальнедействующих кулоновских эффектах близости.

2. Расходимость поля  $E$  из (3) на малых расстояниях и интегральная расходимость для полного эффективного поверхностного заряда, также следующая из (3), устраняются естественными средствами. Первая из особенностей пропадает при введении в задачу квантовых поправок к условию термодинамического равновесия. Устранение интегральной расходимости заряда достигается ограничением размеров 2D системы, что естественно для корбино-диска.

Реализация этой программы будет выполнена нами для специально приготовленной, неэкранированной, вырожденной гетероструктуры, имеющей ступенчатое распределение плотности доноров  $n_d(x)$ . Доноры расположены в плоскости  $z = 0$  по закону

$$n_d(x) = N_d, \quad |x| > w; \quad n_d(x) = n_d, \quad |x| < w. \quad (4)$$

Здесь  $2w$  – ширина ступеньки в распределении доноров вдоль оси  $x$ . Эта ступенька играет роль центральной части корбино-образца в одномерном приближении. Электроны находятся в той же плоскости, что и доноры, то есть толщина спейсера между электронами и донорами положена равной нулю.

Условие равновесия в электронной системе выглядит так:

$$e\phi(x) + \frac{\pi\hbar^2}{2m_*}n(x) = \text{const}, \quad (5)$$

$$e\phi(x) = \frac{2e^2}{\kappa} \int_{-\infty}^{+\infty} \delta n(s) \ln(x-s) ds, \quad (6)$$

$$\delta n(x) = n(x) - n_d(x). \quad (7)$$

Здесь  $\kappa$  – диэлектрическая постоянная,  $n_d(x)$  взято из (4), термодинамическая часть электрохимического потенциала записана в обычном приближении Томаса–Ферми.

Для решения уравнения (5) относительно  $\delta n(x)$  удобно продифференцировать это уравнение по  $x$ . В результате имеем

$$\frac{\pi\hbar^2}{2m_*} \frac{d\delta n(x)}{dx} - \frac{\pi\hbar^2(N_d - n_d)}{2m_*} [\delta(x+w) - \delta(x-w)] + \frac{2e^2}{\kappa} \int_{-\infty}^{+\infty} \frac{\delta n(s) ds}{(x-s)} = 0. \quad (8)$$

Фурье-преобразование уравнения (8) приводит к определению  $\delta n_q$ :

$$\delta n(x) = \frac{1}{\sqrt{2\pi}} \int_{-\infty}^{+\infty} \delta n_q \exp(iqx) dq, \quad (9)$$

$$\sqrt{2\pi} \delta n_q = 2a_b^* (N_d - n_d) \frac{\sin(qw)}{(4 + a_b^*q)}, \quad a_b^* = \frac{\kappa\hbar^2}{m_*e^2}, \quad q \geq 0. \quad (10)$$

Очевидно, что сходимость интеграла (9) в "опасных" точках  $x = \pm w$  обеспечивается конечностью эффективного борковского радиуса  $a_b^*$ . Что касается интегральных расходимостей, отмеченных выше, то они отсутствуют в меру конечности ширины  $w$ . В частности, избыточная плотность электронов  $\delta n(0)$  оказывается равной

$$\delta n(0) = \frac{1}{\sqrt{2\pi}} \int_{-\infty}^{+\infty} \delta n_q dq = \frac{2}{\pi} (N_d - n_d) [\text{ci}(\gamma) \sin(\gamma) - \text{si}(\gamma) \cos(\gamma)], \quad (11)$$

$$\gamma = 4w/a_b^* \quad (11a)$$

Здесь  $ci(x)$  и  $si(x)$  – интегральные косинус и синус.

Переход к классике, аналогичной (1),(2), в данной модели возникает, если

$$a_b^* \ll w, \quad \frac{\pi \hbar^2}{2m_*} (N_d - n_d) = e\phi_{ab}. \quad (12)$$

При этом

$$\delta n_0(x) = \frac{a_b^* w (N_d - n_d)}{2\pi (w^2 - x^2)} = \frac{\kappa w \phi_{ab}}{\pi^2 e (w^2 - x^2)}. \quad (13)$$

В случае  $a_b^* \ll w$  приближение (13) хорошо "работает" вдали от точек  $x = \pm w$ . С помощью (13) нетрудно убедиться, например, что на больших расстояниях  $|x| > w$  добавка  $\delta n(x)$  обратно пропорциональна квадрату  $x$ , то есть является интегрируемой. Очевиден также масштаб неоднородности в глубине 2DEG. В частности, при  $x = 0$  формула (13) находится в соответствии с определением  $\delta n(0)$  (11).

3. Среди характеристик 2D Корбино, чувствительных к кулоновским эффектам близости, следует назвать, в первую очередь, вольт-амперную характеристику (ВАХ). Пусть, например, речь идет о ВАХ в условиях целочисленного квантового эффекта Холла. Спрашивается, какая часть диска удовлетворяет требованию целочисленности фактора заполнения, если 2D система исходно пространственно неоднородна? Для ответа обратимся к результатам работы [3]. Из нее следует, что при известной кривизне  $n''(0)$  классического распределения электронной плотности в ее экстремальной точке (точке с нулевой первой производной,  $n'(0) = 0$ ), ширина  $2a$  плато, на котором поддерживается целочисленность фактора заполнения  $\nu_1 = 1, 2, 3, \dots$ , оказывается равной

$$n''(0)a^2/4 = [\nu(0) - \nu_1]n_H, \quad n''(0) = d^2 n(0)/dx^2, \quad (14)$$

$$\nu(0) = n(0)/n_H, \quad n_H^{-1} = \pi l_H^2, \quad l_H^2 = \frac{c\hbar}{eH}. \quad (14a)$$

Здесь  $H$  – напряженность магнитного поля, нормального плоскости диска.

Ширина  $2a$  максимальна, когда дополнительная кулоновская энергия, возникающая в связи с деформацией исходной, классической плотности электронов  $n(x)$ , сравнивается с циклотронной энергией  $\hbar\omega_c$ . При этом

$$a_{max}^3 = \frac{3\kappa\hbar\omega_c}{\pi e^2 |n''(0)|}. \quad (15)$$

Подставляя в определение (15) величину  $n''(0)$ , следующую из (9), (13), имеем

$$(a_{max}/w)^3 = \frac{3\pi\hbar\omega_c}{2e\phi_{ab}}. \quad (16)$$

Таким образом, величина  $a_{max}$  заметно меньше  $w$ , если  $\hbar\omega_c < e\phi_{ab}$ . Линейная часть ВАХ для корбино-диска при этом выглядит так:

$$j_x = \sigma_{xx} V/2a, \quad (17)$$

где  $j_x$  – плотность тока,  $\sigma_{xx}$  – диагональная часть тензора проводимости в условиях КЭХ,  $V$  – дрейфовая разность потенциалов между берегами Корбино,

$2a$  – ширина "несжимаемой" полоски из (14). Формула (17) верна, пока  $a < a_{max}$  из (16). Традиционная формула для  $j_x$  без учета эффектов близости в данном случае имела бы вид (17) с заменой  $a$  на  $w$ .

Продолжая тему "несжимаемой" полоски, обратимся к работе [2]. В этих интересных экспериментах, выполненных с помощью линейного электрооптического эффекта, показано, в частности, что корбино-диск, имеющий номинальную ширину  $2D$  области  $2w = 700$  мкм, при симметричном возбуждении (переменное напряжение подается симметрично на оба контакта) электрически активен в условиях КЭХ лишь на краях  $2D$  системы, прилегающих к этим контактам. Ширина активных областей порядка 100 мкм и не зависит (в определенном интервале частот порядка 5 кГц) от частоты измерения. Что касается центральной части Корбино, размерами  $2a = 500$  мкм, имеющей целочисленный фактор заполнения  $\nu_l = 2$ , то она практически лишена диагональной проводимости и в экспериментах [2] оставалась эквипотенциальной. Наша трактовка наблюдаемой в [2] картины заключается в том, что благодаря отличной от нуля контактной разности потенциалов между 2DEG и металлическими берегами Корбино,  $2D$  система теряет пространственную однородность. При этом в условиях КЭХ эффективная полоса с целочисленным фактором заполнения имеет размеры  $a < w$  (16), зависящие от контактной разности потенциалов. Следовательно, отношение  $w/a$  из [2] вместе с (16) позволяют оценить масштаб контактной разности потенциалов для Корбино из [2]:

$$e\phi_{ab} = \hbar\omega_c(w/a)^3 = 2.74\hbar\omega_c. \quad (18)$$

Для магнитного поля  $H = 8.5$  Тл, отвечающего в работе [2]  $\nu_l = 2$ , контактная разность потенциалов из (18) имеет масштаб порядка 390 К.

Более деликатным кулоновским эффектом близости является неоднородность электропотенциала вдоль равновесной  $2D$  системы в условиях  $H = 0$ . Этот эффект, также качественно зафиксированный в [2], имеет квантовое происхождение, то есть возникает лишь при учете в уравнении равновесия (5) энергии нулевых колебаний. К сожалению, ничего, кроме качественного утверждения о наличии неоднородности в распределении  $\phi(x)$ , при нулевом магнитном поле и масштабе этой неоднородности порядка размеров  $w$   $2D$  системы работа [2] не содержит. Поэтому квантовое решение (8)–(11) задачи о равновесии в составной системе, свидетельствующее о неоднородности потенциала  $\phi$  вдоль 2DEG, имеет смысл теоремы существования для этого эффекта. При оценке масштабов неоднородности  $\phi(x)$  вдали от сингулярностей можно пользоваться приближенной формулой, следующей из анализа квантового решения (5)–(11) задачи о равновесии в корбино-диске:

$$e\phi(x) = \text{const} - \pi\hbar^2\delta n_0(x)/2m_*, \quad (19)$$

где  $\delta n_0(x)$  есть классическое распределение электронной плотности, отвечающее кусочно гладкому поведению электропотенциала. Такое квазиклассическое определение степени неоднородности  $\phi(x)$  в заряженных  $2D$  системах использовалось и ранее [4].

Таким образом, в работе обращается внимание на существование в низкоразмерных заряженных системах дальнедействующих кулоновских эффектов близости. Исходные причины для их появления аналогичны контактным явлениям в  $3D$  металлах. Однако специфика решения уравнения Пуассона для

низкоразмерных распределений зарядов ведет к аномальной "размазанности" возмущения электронной плотности по областям, далеким от зон контактов. Анализ этих аномалий приводит к ряду заключений, интересных с экспериментальной и теоретической точек зрения. Полученные выше результаты позволяют, в частности, привлекать кулоновские эффекты близости к объяснению экспериментов [2]. При этом оказалось возможным оценить масштаб контактной разности потенциалов (порядка 400 К) для неэкранированного корбино-диска с металлическими контактами. Насколько известно авторам, систематическая информация о контактной разности потенциалов между 2D и 3D проводящими системами пока отсутствует. Кулоновские эффекты близости позволяют восполнить этот пробел.

Авторы благодарны В.Ф.Гантмахеру и В.Т.Долгополову за обсуждение результатов работы и полезные замечания.

Работа поддержана грантами INTAS 93-933 и Российского фонда фундаментальных исследований 95-02-06108а.

- 
1. Л.Д.Ландау, Е.М.Лифшиц, *Электродинамика сплошных сред*, М.: Гостехиздат, 1957, стр.133.
  2. W.Dietsche, K.v.Klitzing, and K.Ploog, Workbook Program of the Conf. "Electronic Properties of Two Dimensional Systems", Nottingham U.K., 1995, p.311.
  3. D.B.Chklovskii, K.A.Matveev, and B.I.Shklovskii, *Phys.Rev.* **B47**, 12605 (1993).